# 後施工プレート定着型せん断補強鉄筋と高伸度繊維シートによる RC 柱部材の耐震補強

大成建設(株) 正会員 〇鈴木 三馨, 正会員 武田 均, 正会員 岡本 修一, フェロー会員 新藤 竹文 成和リニューアルワークス(株) 竹井 勝美

### 1. はじめに

後施工プレート定着型せん断補強鉄筋<sup>1)</sup>(以下,後施工プレート筋と称す)による,RC 部材のせん断補強工法が実用化されている.今回 RC 柱部材の耐震補強を対象として,後施工プレート筋を施工した後に,高伸度繊維(ポリエチレンテレフタレート繊維)シート(以下,PET シートと称す)を柱に巻き立てることによってせん断補強に加えてじん性率の改善も図った.本論文では,無補強の RC 柱試験体および後施工プレート筋と PET シートの併用により補強した RC 柱試験体の正負交番載荷実験により,補強効果を確認した.

## 2. 実験概要

RC 柱試験体の概要を図ー1に、諸元を表ー1に示す。PET シートの諸元を表ー2に示す。試験体は鉄道高架橋橋脚を想定した断面寸法  $600 \text{ mm} \times 600 \text{ mm}$  の RC 柱で、無補強の試験体 (No.1) と、後施エプレート筋と PET シートにより補強した試験体 (No.2) とした。材料試験結果は表-3に示す通りである。

試験体の載荷は、最初に柱基部の軸応力度が  $4.0\,\mathrm{N/mm^2}$  となるように軸力を載荷した後、柱基部から  $2,050\,\mathrm{mm}$  の位置に水平力を与え、正負交番載荷を行った。水平力については、初めに予備載荷として  $100\,\mathrm{kN}$ 、 $300\,\mathrm{kN}$  の荷重を正負に  $1\,\mathrm{回}$  可載荷した後、本載荷を行った。最外縁の軸方向鉄筋が降伏ひずみに達した時の載荷位置における水平変位を降伏変位  $\delta_y$  として、 $\delta_y$  の整数倍の変位量( $\pm 1\,\delta_y$ 、 $\pm 2\,\delta_y$ 、 $\pm 3\,\delta_y$ ・・・)で、各  $3\,\mathrm{th}$  サイクルの載荷を変位制御で行った。

## 3. 実験結果

各試験体の、補正水平荷重と載荷位置における水平変位の 関係を**図-2**に示す、補正水平荷重は軸力による偏心モーメ ントを水平荷重に換算した分を水平荷重に加えて求めた。

無補強の No.1 は、 $\pm 1\delta$ 、のサイクルで柱部に複数の斜めひび割れが発生し、 $\pm 2\delta$ 、の 1 サイクル目で斜めひび割れが大きく開口するとともに荷重が急激に低下し、せん断破壊となった.後施工プレート筋と PET シートにより補強した No.2 は、

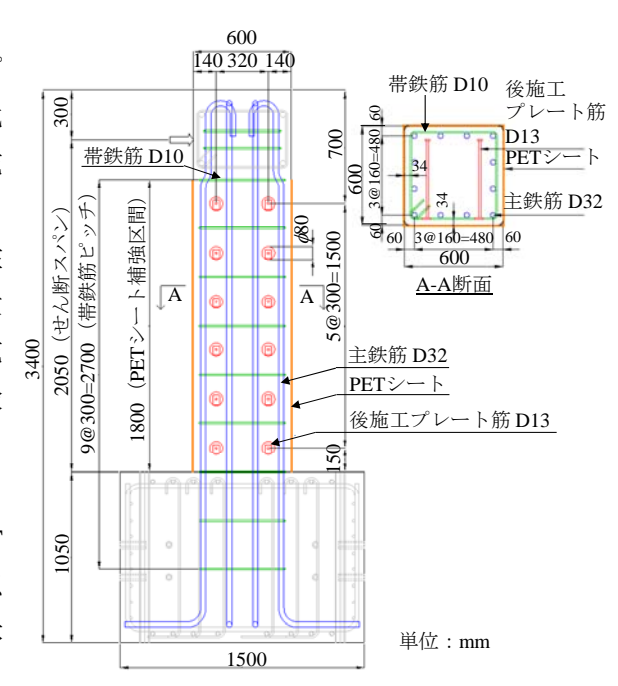


図-1 RC 柱試験体の概要

表-1 RC 柱試験体の諸元

断面寸法	600mm×600mm	
せん断スパンa	2050mm	
せん断スパン比a/d	3.8	
軸応力度 $\sigma_n$	4.0N/mm <sup>2</sup>	
せん断補強鉄筋比pw	0.079% (D10@300mm)	

表-2 PETシートの諸元

補強量	1161g/m <sup>2</sup> ×1層
厚さ	0.841mm
弾性率	10kN/mm <sup>2</sup>

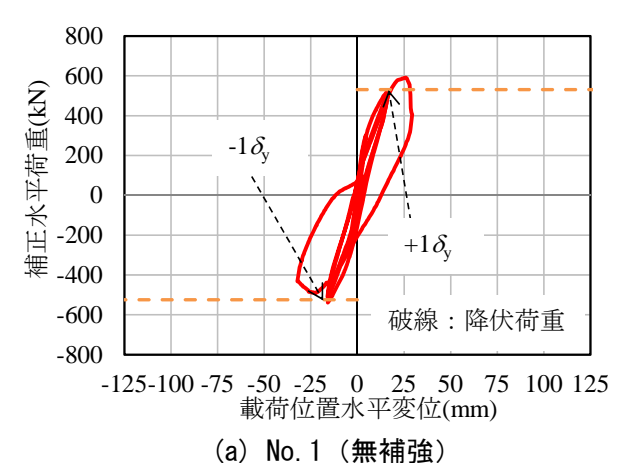
表一3 材料試験結果

コンクリートの	No.1載荷試験時	30.8N/mm <sup>2</sup>
圧縮強度	No.2載荷試験時	30.1N/mm <sup>2</sup>
鉄筋の降伏強度	軸方向鉄筋D32	391N/mm <sup>2</sup>
	帯鉄筋D10	418N/mm <sup>2</sup>
	後施工プレート筋 D13	393N/mm <sup>2</sup>

 $\pm 6\delta_y$  のサイクルまでほぼ最大荷重を保持しており、安定した挙動を示した。 $+5\delta_y$  の 1 サイクル目で基部から 600 mm までの PET シートが一部水平に破断し、はらみ出しが確認された。 $-5\delta_y$  の 1 サイクル目でも同じ位置

キーワード 耐震補強,後施工,プレート定着型せん断補強鉄筋,高伸度繊維シート,じん性

連絡先 〒245-0051 神奈川県横浜市戸塚区名瀬町 344-1 大成建設 (株) 技術センター TEL045-814-7230



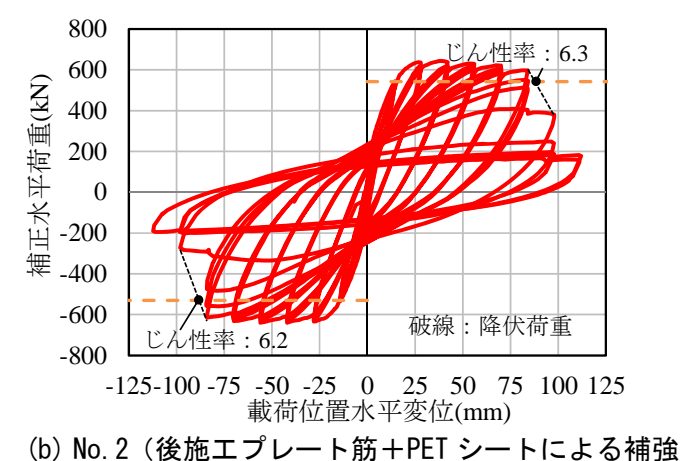


図-2 補正水平荷重-載荷位置水平変位関係

で PET シートが一部水平に破断し、はらみ出しが確認された. しかし、 写真-1に示す実験終了後の柱の状況のように、PET シートは破断して いるものの、かぶり部のはく落を抑制する効果が得られていることがわ かる.

## 4. 考察

実強度を用いて計算した曲げせん断耐力比および実験値を表-4に示 す. 曲げせん断耐力比は, No.1 が 0.81, No.2 が 1.48 である. ここで, せ ん断耐力  $V_{fvd}$  は、文献 2) (以下、A&P 指針と称す) により算定した。実 験では、No.1 はせん断破壊したが、No.2 の破壊モードは曲げ先行モード になっていることから、後施工プレート筋と PET シートを併用すること で、さらに確実なせん断補強効果が得られることが示された.また、計 算上は、せん断補強鋼材により受け持たれる設計せん断耐力が増加する ことで、PETシートにより受け持たれる設計せん断耐力も増加する.つ



写真-1 試験後の状況 (No.2)

後施工プレート筋

+PET補強

1.16, 1.15

6.2

6.3, 6.2

まり、後施工プレート筋あるいは PET シートをそれぞ れ単体で用いて補強するよりも、後施工プレート筋と PET シートを併用することで相乗的なせん断補強効 果が得られることとなる. 実験と計算との耐力比を比 較すると,無補強 (No.1) の試験体で 1.19-1.31、後施 エプレート筋+PET 補強 (No.2) の試験体で 1.15-1.16 となり、実験値が計算値よりも高い値となった。

次に, じん性率について, 実験結果と A&P 指針<sup>2)</sup> による計算値を比較した結果を表-4に示す. じん性 率の計算値は 6.2 であり, 実験でのじん性率 6.2-6.3(骨 格曲線と降伏荷重により算定)とほぼ等しかった.

#### 5. まとめ

正負交番繰返し載荷実験により,後施工プレート筋 と PET シートの併用工法によって、せん断補強効果お

(No.1)(No.2) $V_{cd}(kN)$  コンクリート分 359 356 93 234 Vsd(kN) せん断補強鋼材分 0 232 VPfd(kN) PETシート分 V<sub>fyd</sub>(kN) せん断耐力 452 822 V<sub>mu</sub>(kN) 曲げ耐力 558 555 曲げせん断耐力比 0.81 1.48  $V_{fyd}/V_{mu}$ +591,-539 +643,-640 最大耐力 Vexp (kN) 破壊モ せん断 曲げ 1.31, 1.19 実験と計算との  $V_{exp}/V_{fyd}$ 

 $V_{exp}/V_{mu} \\$ 

表一4 曲げせん断耐力比とじん性率の比較

無補強

よびじん性補強効果の向上が確認され,本工法により,合理的な耐震補強が可能となることが明らかになった.

耐力比(正,負)

計算でのじん性率 $\mu_{td}$ 

実験でのじん性率 $\mu_f$ (正, 負)

## 参考文献

- 1) (財) 土木研究センター:後施工プレート定着型せん断補強鉄筋「Post-Head-bar」,建設技術審査証明報告書,2005.12.
- 2) (公財) 鉄道総合技術研究所: 既存鉄道コンクリート高架橋柱等の耐震補強設計・施工指針 A&P 耐震補強工法編, 2006.